

# КВАЗИПРАВДОПОДОБНОЕ ОБНАРУЖЕНИЕ СИГНАЛОВ С НЕИЗВЕСТНЫМИ ФОРМОЙ И МОМЕНТАМИ ПОЯВЛЕНИЯ И ИСЧЕЗНОВЕНИЯ\*

А. П. Трифонов, Ю. Э. Корчагин

*Воронежский государственный университет*

Поступила в редакцию 24.09.2015 г.

**Аннотация.** Выполнены синтез и анализ квазиправдоподобного алгоритма обнаружения сигнала с неизвестными формой и моментами появления и исчезновения, наблюдаемого на фоне аддитивного гауссовского белого шума. Найдены асимптотически точные (с ростом отношения сигнал/шум) статистические характеристики синтезированного алгоритма. Выполнено статистическое моделирование алгоритма обнаружения. Найдены границы применимости полученных асимптотических выражений.

**Ключевые слова:** моменты появления и исчезновения, квазиправдоподобный алгоритм обнаружения, вероятность ложной тревоги, вероятность пропуска сигнала, отношение сигнал-шум, амплитуда, начальная фаза.

## QUASILIKELIHOOD DETECTION OF SIGNAL WITH UNKNOWN FORMS AND MOMENTS OF APPEARANCE AND DISAPPEARANCE

A. P. Trifonov, Yu. E. Korchagin

**Abstract.** Detection algorithms waveform signal with unknown moments of appearance and disappearance are considered. The asymptotic (at large signal/noise ratio) characteristics of synthesized algorithms are found. Statistical modeling of synthesized algorithms completed.

**Keywords:** appearance and disappearance moments, quasi likelihood estimation, bias, variance, signal/noise ratio, amplitude, initial phase.

В различных приложениях теории связи, локации, навигации, управления возникает необходимость в приёме сигналов с неизвестными моментами появления и исчезновения. Кроме этого, зачастую на приёмной стороне неизвестна также форма принимаемого сигнала или какие либо его параметры [1-5]. В данной работе рассмотрены алгоритмы обнаружения сигнала произвольной формы с неизвестными моментами появления и исчезновения на фоне гауссовского белого шума.

### 1. ОБНАРУЖЕНИЕ СИГНАЛА С НЕИЗВЕСТНЫМ МОМЕНТОМ ИСЧЕЗНОВЕНИЯ

Пусть на фоне аддитивного гауссовского белого шума подлежит обнаружению сигнал

$$s(t, \theta_{01}, \theta_{02}) = \begin{cases} f(t), & \theta_{01} \leq t \leq \theta_{02}, \\ 0, & t < \theta_{01}, t > \theta_{02}, \end{cases} \quad (1)$$

\* Исследование выполнено за счёт гранта Российского научного фонда (проект № 15-11-10022)  
© Трифонов А. П., Корчагин Ю. Э., 2015

форма которого описывается функцией  $f(t)$ , а  $\theta_{01}$  и  $\theta_{02}$  — его моменты появления и исчезновения соответственно.

Предположим сначала, что на приёмной стороне неизвестны форма сигнала  $f(t)$  и момент исчезновения, который может принимать значения из априорного интервала

$$\theta_{02} \in [\theta_{2\min}, \theta_{2\max}]. \quad (2)$$

Сформулируем задачу обнаружения в терминах теории проверки статистических гипотез [7]–[9]. Подлежит проверке простая гипотеза  $H_0: x(t) = n(t)$  — сигнал отсутствует в наблюдаемой реализации  $x(t)$  — против сложной альтернативы  $H_1: x(t) = n(t) + s(t, \theta_{01}, \theta_{02})$  — сигнал присутствует. Здесь  $n(t)$  — реализация гауссовского белого шума с односторонней спектральной плотностью  $N_0$ .

Будем также считать, что интервал наблюдения  $[0, T]$  удовлетворяет условию  $0 < \theta_{01} < \theta_{2\max} < T$ , так что сигнал (1) полностью размещается в этом интервале.

Если форма и момент исчезновения сигнала априори известны, то для синтеза приёмного устройства можно воспользоваться методом максимального правдоподобия (МП) [6]–[8]. Приёмник МП должен формировать случайную величину  $L_0 = L(\theta_{01}, \theta_{02})$ , где [6]–[8]

$$L(\theta_1, \theta_2) = \frac{2}{N_0} \int_{\theta_1}^{\theta_2} [x(t) - f(t)/2] f(t) dt \quad (3)$$

— логарифм функционала отношения правдоподобия (ФОР) [7], [8].

Решение о наличии или отсутствии сигнала в реализации наблюдаемых данных принимается на основе сравнения величины  $L_0$  с порогом  $c$

$$L_0 \underset{H_0}{\overset{H_1}{>}} c. \quad (4)$$

Если порог  $c$  превышен, выносится решение о наличии сигнала, в противном случае — об отсутствии. Значение порога  $c$  зависит от выбранного критерия оптимальности. Например, для критерия максимального правдоподобия  $c = 0$ , а для критерия Неймана-Пирсона порог определяется фиксированным значением вероятности ложной тревоги.

Вероятности ошибок [7], [8] 1-го рода  $\alpha_0$  (ложной тревоги) и 2-го рода  $\beta_0$  (пропуска сигнала) алгоритма обнаружения (4) известны [8]

$$\alpha_0 = 1 - \Phi(c/z_0 + z_0/2), \quad \beta_0 = \Phi(c/z_0 - z_0/2), \quad (5)$$

где

$$z_0^2 = \frac{2}{N_0} \int_{\theta_{01}}^{\theta_{02}} f^2(t) dt$$

— отношение сигнал/шум (ОСШ) на выходе приёмника, а  $\Phi(x) = \int_{-\infty}^x \exp(-t^2/2) dt / \sqrt{2\pi}$

— интеграл вероятности.

Один из способов преодоления априорной неопределённости относительно момента исчезновения и формы сигнала (1) — использование квазиправдоподобного (КП) алгоритма обнаружения [7], [8], согласно которому приёмник формирует и сравнивает с порогом логарифм ФОР (3) для некоторых ожидаемых момента исчезновения  $\theta_2^*$  из области (2) и формы сигнала  $g(t)$

$$L^* = L^*(\theta_{01}, \theta_2^*) \underset{H_0}{\overset{H_1}{>}} c, \quad (6)$$

$$L^*(\theta_1, \theta_2) = \frac{2}{N_0} \int_{\theta_1}^{\theta_2} [x(t) - g(t)/2] g(t) dt. \quad (7)$$

Блок-схему КП обнаружителя (6) можно изобразить в виде рис. 1, где К — ключ, замкнутый на отрезке времени  $[\theta_{01}, \theta_2^*]$ , И — интегратор, РУ — решающее устройство, осуществляющее сравнение выходного сигнала интегратора в момент времени  $t = \theta_2^*$  с порогом  $c$  и выносящее решение в пользу одной из гипотез. Часть блок-схемы рис. 1, выделенную штриховой линией, будем называть коммутируемым интегратором (КИ).

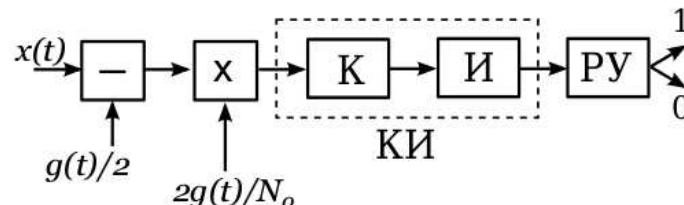


Рис. 1.

Для нахождения вероятностей ошибок обнаружения при использовании КП алгоритма (6) запишем функцию распределения гауссовской случайной величины  $L^*$  в виде

$$P\{L^* < x | H_j\} = \Phi\left[\frac{x - s_j}{\sqrt{D}}\right] \quad (8)$$

где

$$s_0 = \langle L^* | H_0 \rangle = -z_g^2/2, \quad s_1 = \langle L^* | H_1 \rangle = Z_{fg} - z_g^2/2, \quad D = \langle (L^* - s_1)^2 \rangle = \langle (L^* - s_0)^2 \rangle = z_g^2,$$

$$z_g^2 = \frac{2}{N_0} \int_{\theta_{01}}^{\theta_2^*} g^2(t) dt, \quad Z_{fg} = \frac{2}{N_0} \int_{\theta_{01}}^{\min(\theta_{02}, \theta_2^*)} g(t) f(t) dt. \quad (9)$$

Следовательно, для вероятностей ошибок алгоритма (6) получаем

$$\alpha^* = P\{L^* > c | H_0\} = 1 - \Phi(c/z_g + z_g/2), \quad (10)$$

$$\beta^*(\theta_{02}) = P\{L^* < c | H_1\} = \Phi\left[\frac{c - Z_{fg} + z_g^2/2}{z_g}\right]. \quad (11)$$

Исследуем состоятельность алгоритма обнаружения (6). Для этого рассмотрим поведение вероятности пропуска сигнала (11) при фиксированной вероятности ложной тревоги (10). Выражая из (10) порог  $c$  как функцию вероятности ложной тревоги и подставляя его в формулу (11), получаем

$$\beta^*(\theta_{02}) = \Phi\left(\text{arc}\Phi(1 - \alpha^*) + (s_0 - s_1) / \sqrt{D}\right) = \Phi(\text{arc}\Phi(1 - \alpha^*) - Z_{fg}/z_g), \quad (12)$$

где  $\text{arc}\Phi(x)$  — функция, обратная к интегралу вероятности. Согласно (12), при неизменной вероятности ложной тревоги  $\alpha^* = \text{const}$  и снижении уровня шума  $N_0 \rightarrow 0$  вероятность пропуска сигнала  $\beta^* \rightarrow 0$ , если

$$Z_{fg} > 0. \quad (13)$$

В качестве примера рассмотрим КП обнаружение прямоугольного импульса со скошенной вершиной

$$f(t) = A_r [1 + (1 - \gamma_0)(t - \theta_{01}) / \gamma_0 T_{\max}] \gamma_0 \sqrt{3 / (\gamma_0^2 + \gamma_0 + 1)}. \quad (14)$$

Здесь величина  $A_r$  характеризует амплитуду сигнала, а  $\gamma_0 = f(\theta_{01})/f(\theta_{2\max})$  — наклон скошенной вершины импульса,  $T_{\max} = \theta_{2\max} - \theta_{01}$  — максимальная длительность сигнала. Выберем величины  $\theta_{01}$  и  $\theta_{2\max}$  фиксированными и обозначим  $k = T_{\max}/T_{\min}$ ,  $T_{\min} = \theta_{2\min} - \theta_{01}$ . Тогда изменение длины априорного интервала момента исчезновения происходит с изменением левой его границы  $\theta_{2\min}$  с помощью величины  $k$ . Множитель  $\gamma_0 \sqrt{3/(\gamma_0^2 + \gamma_0 + 1)}$  в выражении (14) необходим для того, чтобы энергия сигнала максимальной длительности  $E_{\max} = \int_{\theta_{01}}^{\theta_{2\max}} f^2(t) dt = A_r^2 T_{\max}$  не зависела от наклона его скошенной вершины.

Будем полагать, что опорный сигнал совпадает с принимаемым. Подставляя (14) в (9), находим

$$z_g^2 = z_r^2 \Delta(\tau^*), \quad Z_{fg} = z_r^2 \Delta[\min(\tau_0, \tau^*)],$$

$$\Delta(x) = x \left[ 3\gamma_0^2 + 3\gamma_0(1 - \gamma_0)x + (1 - \gamma_0)^2 x^2 \right] / (1 + \gamma_0 + \gamma_0^2),$$

где обозначено  $z_r^2 = 2A_r^2 T_{\max} / N_0$ ,  $\tau_0 = (\theta_{02} - \theta_{01}) / T_{\max}$  — нормированная длительность принятого сигнала,  $\tau^* = (\theta_2^* - \theta_{01}) / T_{\max}$  — нормированная длительность ожидаемого сигнала.

На рис. 2 показана безусловная средняя вероятность ошибки

$$P_e^* = p_0 \alpha^* + p_1 \int_{\theta_{2\min}}^{\theta_{2\max}} \beta^*(\theta_2) W_{pr}(\theta_2) d\theta_2$$

для  $\gamma_0 = 10$  (кривые 1),  $\gamma_0 = 0,1$  (кривые 2) и  $p_0 = 0,7$ . При построении безусловной средней вероятности ошибки порог находился как  $c = \arg \inf P_e^*$ , а априорная плотность вероятности момента исчезновения считалась равномерной на интервале (2)

$$W_{pr}(\theta_2) = 1/(\theta_{2\max} - \theta_{2\min}).$$

Сплошные, штриховые и штрихпунктирные кривые соответствуют положениям ожидаемого момента исчезновения сигнала, при которых  $\tau^* = 0,5$ ,  $\tau^* = 0,75$  и  $\tau^* = 0,25$  соответственно.

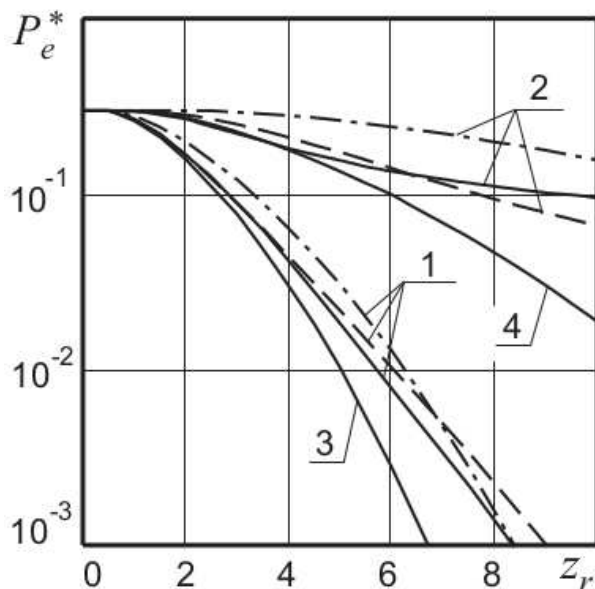


Рис. 2.

Цифрами 3 и 4 обозначены зависимости  $P_e^*(z_r)$  при известном моменте исчезновения,  $\gamma_0 = 10$  и  $\gamma_0 = 0,1$  соответственно, рассчитанные с помощью выражений (5).

Как видно из рис. 2, незнание момента исчезновения сигнала приводит к проигрышу КП алгоритма обнаружения (6) по сравнению с алгоритмом (4).

С целью уменьшения проигрыша можно использовать другой способ преодоления априорной неопределённости — адаптация приёмного устройства по неизвестному моменту исчезновения [6]–[9]. Тогда приёмник должен формировать решающую статистику (7) для всех возможных моментов исчезновения из отрезка (2) и находить величину ее максимума

$$L_g = \sup L^*(\theta_2). \tag{15}$$

Решение в пользу одной из гипотез выносится в результате сравнения величины (15) с порогом

$$L_g \underset{H_0}{\overset{H_1}{>}} c. \tag{16}$$

Блок-схему КП обнаружителя (16) можно изобразить в виде рис. 3.

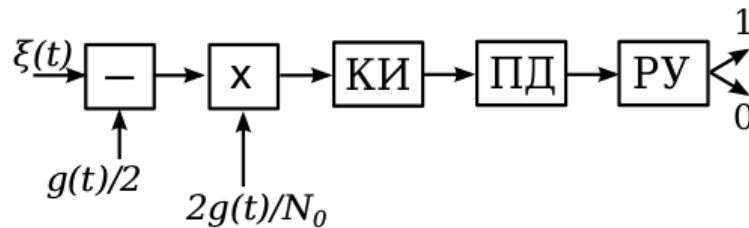


Рис. 3.

Здесь коммутируемый интегратор КИ работает в интервале времени  $[\theta_{01}, \theta_{2\max}]$ , ПД — пиковый детектор, определяющий величину максимума сигнала на интервале времени  $[\theta_{2\min}, \theta_{2\max}]$ , РУ — решающее устройство, осуществляющее сравнение выходного сигнала пикового детектора в момент  $t = \theta_{2\max}$  с порогом  $c$  и вырабатывающее решение в пользу одной из гипотез.

При совпадении опорного и принятого сигналов  $f(t) = g(t)$  КП алгоритм обнаружения (16) совпадает с МП алгоритмом, согласно которому, приёмник должен формировать логарифм ФОП  $L(\theta_2) = L(\theta_{01}, \theta_2)$  (3) для всех возможных значений момента исчезновения (2) и находить величину его максимума

$$L = \sup L(\theta_2). \quad (17)$$

Решение в пользу одной из гипотез выносится в результате сравнения величины (17) с порогом

$$\begin{matrix} H_1 \\ L > c \\ H_0 \end{matrix} \quad (18)$$

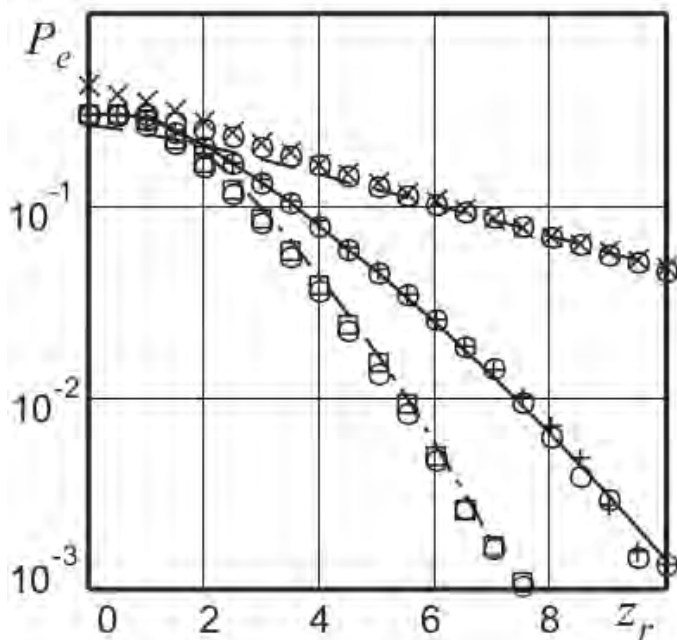


Рис. 4.

$\arg \inf P_e$ . Априорная плотность вероятности момента исчезновения считалась равномерной на интервале (2).

Рассмотрим далее возможность применения классического байесовского подхода [7] к обнаружению сигнала (1), согласно которому приёмник должен формировать случайную вели-

Алгоритм (18), реализующий МП обнаружитель, исследован в [6]. В этой работе методом локально-марковской аппроксимации [8], [9] найдены асимптотически точные (с ростом ОСШ) выражения для вероятности ложной тревоги  $\alpha$  и условной вероятности пропуска  $\beta(\theta_{02})$ . На рис. 4 показана безусловная средняя вероятность ошибки МП алгоритма (18)

$$P_e = p_0 \alpha + p_1 \int_{\theta_{2\min}}^{\theta_{2\max}} \beta(\theta_2) W_{pr}(\theta_2) d\theta_2$$

для  $\gamma_0 = 10$  (штрих-пунктирная) и  $\gamma_0 = 1$  (сплошная) и  $\gamma_0 = 0,1$  (штриховая кривые),  $p_0 = 0,7$  и  $c =$

чину

$$\Lambda = \int_{\theta_{2 \min}}^{\theta_{2 \max}} \exp [L(\theta_2)] W_{pr}(\theta_2) d\theta_2. \quad (19)$$

Решение в пользу одной из гипотез выносится в результате сравнения величины (19) с порогом

$$c = \frac{p_0 (C_{01} - C_{00})}{p_1 (C_{10} - C_{11})}, \quad (20)$$

где  $C_{ij}$  — матрица потерь.

К сожалению, найти характеристики работы байесовского алгоритма обнаружения аналитически не удаётся. Исследование эффективности байесовского обнаружителя выполнено методами статистического моделирования на ЭВМ в работе [6]. На рис. 4 показаны результаты статистического моделирования МП алгоритма (18) приёма сигнала (1), (14) крестиками для  $\gamma_0 = 0,1$ , плюсиками для  $\gamma_0 = 1$  и квадратиками для  $\gamma_0 = 10$ . Как видно, при  $z_r > 4$  асимптотические характеристики удовлетворительно описывают экспериментальные данные.

На том же рисунке кружками изображены результаты моделирования байесовского алгоритма обнаружения при  $C_{01} = C_{00}$ ,  $C_{10} = C_{11}$ . Характеристики байесовского обнаружителя практически совпадают с характеристиками МП обнаружителя с оптимизированным порогом [7].

## 2. ОБНАРУЖЕНИЕ СИГНАЛА С НЕИЗВЕСТНЫМИ МОМЕНТАМИ ПОЯВЛЕНИЯ И ИСЧЕЗНОВЕНИЯ

Предположим теперь, что на приёмной стороне неизвестна форма  $f(t)$ , и моменты появления и исчезновения сигнала (1), которые могут принимать значения из априорных интервалов

$$\theta_{01} \in [\theta_{1 \min}, \theta_{1 \max}], \quad \theta_{02} \in [\theta_{2 \min}, \theta_{2 \max}], \quad \theta_{1 \max} > \theta_{2 \min}. \quad (21)$$

Будем также считать, что интервал наблюдения  $[0, T]$  удовлетворяет условию  $0 < \theta_{1 \min} < \theta_{2 \max} < T$ , так что сигнал (1) полностью размещается в этом интервале.

Один из способов преодоления априорной неопределённости относительно формы и моментов появления и исчезновения сигнала (1) — использование КП алгоритма обнаружения [7], [8], согласно которому приёмник формирует и сравнивает с порогом решающую статистику (7) для некоторых ожидаемых моментов появления  $\theta_1^*$ , исчезновения  $\theta_2^*$  из априорной области (2) и формы сигнала  $g(t)$

$$L^* = L^*(\theta_1^*, \theta_2^*) \underset{H_0}{\overset{H_1}{>}} c \quad (22)$$

Блок-схему КП обнаружителя (22) можно изобразить в виде рис. 1, где коммутируемый интегратор КИ работает в интервале времени  $[\theta_1^*, \theta_2^*]$ , а решающее устройство РУ на основе сравнения с порогом выходного сигнала КИ выносит решение в пользу одной из гипотез.

Находим далее математические ожидания и дисперсию случайной величины (22), подставляя которые в (8), записываем вероятности ошибок в виде (10) и (11), где

$$z_g^2 = \frac{2}{N_0} \int_{\theta_1^*}^{\theta_2^*} g^2(t) dt, \quad Z_{fg} = \frac{2}{N_0} \int_{\max(\theta_{01}, \theta_1^*)}^{\min(\theta_{02}, \theta_2^*)} g(t) f(t) dt. \quad (23)$$

Исследование состоятельности алгоритма обнаружения (22) аналогично (12) приводит к условию (13).

В качестве примера рассмотрим КП обнаружение прямоугольного импульса со скошенной вершиной

$$f(t) = A_r [1 + 2(1 - \gamma_0)(t - \theta) / (1 + \gamma_0) T_{\max}] \sqrt{3 / (\gamma_0^2 + \gamma_0 + 1)} (1 + \gamma_0) / 2 \quad (24)$$

Здесь величина  $A_r$  характеризует амплитуду сигнала, а  $\gamma_0 = f(\theta_{1\min}) / f(\theta_{2\max})$  — наклон скошенной вершины импульса,  $T_{\max} = \theta_{2\max} - \theta_{1\min}$  — максимальная длительность сигнала,  $\theta = (\theta_{2\max} + \theta_{1\min}) / 2$  — середина отрезка  $[\theta_{1\min}, \theta_{2\max}]$ . Выберем величины  $\theta_{1\min}$  и  $\theta_{2\max}$  фиксированными и обозначим  $k = T_{\max} / T_{\min}$ ,  $T_{\min} = \theta_{2\min} - \theta_{1\max}$ . Будем полагать, что  $\theta_{1\max}$  и  $\theta_{2\min}$  располагаются симметрично относительно  $\theta$ , то есть  $\theta_{2\min} - \theta = \theta - \theta_{1\max}$ . Тогда длины априорных интервалов моментов появления и исчезновения одинаковы, а их изменение происходит согласованно с изменением  $\theta_{1\max}$  и  $\theta_{2\min}$  с помощью величины  $k$ . Множитель  $\sqrt{3 / (\gamma_0^2 + \gamma_0 + 1)} (\gamma_0 + 1) / 2$  в выражении (24) необходим для того, чтобы энергия сигнала максимальной длительности  $E_{\max} = \int_{\theta_{1\min}}^{\theta_{2\max}} f^2(t) dt = A_r^2 T_{\max}$  не зависела от наклона его скошенной вершины.

Будем полагать, что опорный сигнал совпадает с принимаемым. Подставляя (24) в (23), находим

$$z_g^2 = z_r^2 \Delta(\lambda_1^*, \lambda_2^*), \quad Z_{fg} = z_r^2 \Delta[\min(\lambda_{01}, \lambda_1^*), \min(\lambda_{02}, \lambda_2^*)],$$

$$\Delta(x) = \left[ 3(1 + \gamma_0)^2 (y + x) / 4 + 3(1 - \gamma_0^2) (y^2 - x^2) / 2 + (1 - \gamma_0)^2 (y^3 + x^3) \right] / (1 + \gamma_0 + \gamma_0^2),$$

где обозначено  $z_r^2 = 2A_r^2 T_{\max} / N_0$ ,  $\lambda_{01} = (\theta - \theta_{01}) / T_{\max}$ ,  $\lambda_{02} = (\theta_{02} - \theta) / T_{\max}$  — нормированные положения моментов появления и исчезновения принятого сигнала,  $\lambda_1^* = (\theta - \theta_1^*) / T_{\max}$ ,  $\lambda_2^* = (\theta_2^* - \theta) / T_{\max}$  — нормированные положения моментов появления и исчезновения ожидаемого сигнала.

На рис. 5 показана безусловная средняя вероятность ошибки

$$P_e^* = p_0 \alpha^* + p_1 \int_{\theta_{1\min}}^{\theta_{1\max}} \int_{\theta_{2\min}}^{\theta_{2\max}} \beta^*(\theta_1, \theta_2) W_{pr}(\theta_1, \theta_2) d\theta_2$$

для  $\gamma_0 = 10$ ,  $\gamma_0 = 0,1$  и  $p_0 = 0,7$ . При построении безусловной средней вероятности ошибки порог находился как  $c = \arg \inf P_e^*$ , а априорная плотность вероятности моментов появления и исчезновения считалась равномерной на интервале (2)

$$W_{pr}(\theta_1, \theta_2) = 1 / (\theta_{1\max} - \theta_{1\min}) (\theta_{2\max} - \theta_{2\min}).$$

Сплошная, штриховая и штрих-пунктирная кривые соответствуют положениям ожидаемых моментов появления и исчезновения соответственно  $\lambda_1^* = \lambda_2^* = 0,25$ ,  $\lambda_1^* = \lambda_2^* = 0,5$  и  $\lambda_1^* = \lambda_2^* = 0,125$ . На том же рисунке показана средняя вероятность ошибки при известных моментах появления и исчезновения — кривая 1 для  $\gamma_0 = 10$  и  $\gamma_0 = 0,1$ .

Как видно из рис. 5, незнание момента исчезновения сигнала приводит к существенному проигрышу КП алгоритма обнаружения (22) по сравнению с алгоритмом (4).

С целью уменьшения проигрыша необходимо использовать другой способ преодоления априорной неопределённости — адаптация приёмного устройства по неизвестным моментам появления и исчезновения [7]. Тогда приёмник должен формировать решающую статистику (7) для всех возможных моментов появления и исчезновения из отрезка (21) и находить величину ее максимума

$$L_g = \sup L^*(\theta_1, \theta_2) \quad (25)$$

Решение в пользу одной из гипотез выносится в результате сравнения (16) величины (25) с порогом. Очевидно, необходимость формирования двумерного случайного поля (7) приводит к существенным трудностям в технической реализации приёмника. Частично избежать этих трудностей можно, если представить логарифм ФОП (7) в виде суммы двух статистически независимых гауссовских случайных процессов

$$L_1(\theta_1) = \frac{2}{N_0} \int_{\theta_1}^{\theta} [x(t) - g(t)/2] g(t) dt,$$

$$L_2(\theta_2) = \frac{2}{N_0} \int_{\theta}^{\theta_2} [x(t) - g(t)/2] g(t) dt,$$

где  $\theta$  — произвольная точка, принадлежащая интервалу  $(\theta_{1\max}, \theta_{2\min})$ . Тогда перепишем выражение (25) как

$$L_g = L_1 + L_2, \quad L_1 = \sup L_1(\theta_1), \quad L_2 = \sup L_2(\theta_2), \quad (26)$$

$L_1$  и  $L_2$  — статистически независимые случайные величины.

Блок-схему квазиправдоподобного обнаружителя (26) можно изобразить в виде рис.7. Здесь коммутируемые интеграторы КИ1 и КИ2 работают в интервалах времени  $[\theta_{1\min}, \theta]$ ,

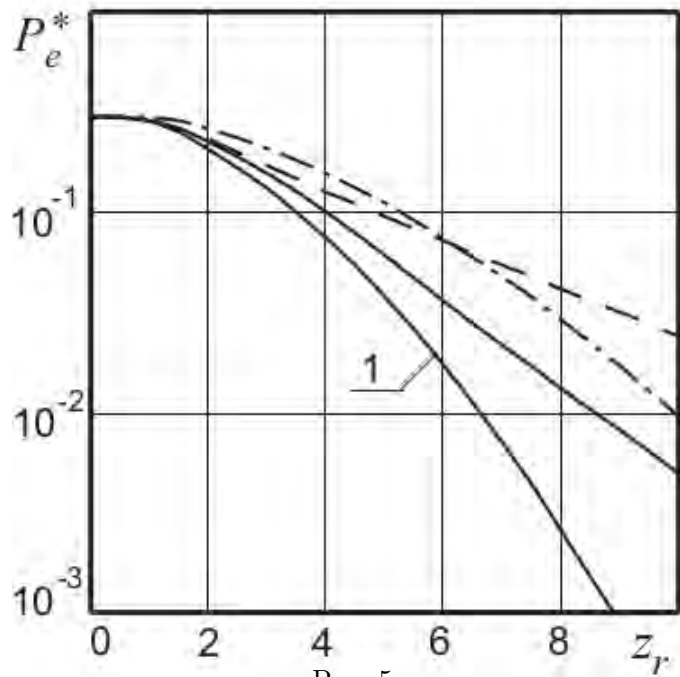


Рис. 5.

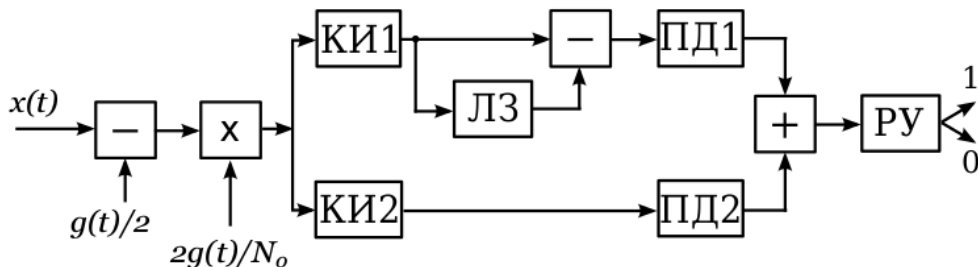


Рис. 6.

$[\theta, \theta_{2\max}]$  соответственно. ЛЗ — линия задержки, осуществляющая задержку сигнала на время  $t = \theta - \theta_{1\min}$ . ПД1 и ПД2 — пиковые детекторы, определяющие величину максимума сигнала на интервалах времени  $[\theta, \theta + \theta_{1\max} - \theta_{1\min}]$   $[\theta_{2\min}, \theta_{2\max}]$  соответственно, ПУ — решающее устройство, осуществляющее сравнение в момент  $t = \max(\theta_{2\max}, \theta + \theta_{1\max} - \theta_{1\min})$  выходного сигнала сумматора с порогом  $c$  и вырабатывающее решение в пользу одной из гипотез.

При совпадении опорного и принятого сигналов  $f(t) = g(t)$  КП алгоритм обнаружения (25) совпадает с МП алгоритмом, согласно которому, приёмник должен формировать логарифм ФОП (3) для всех возможных значений моментов появления и исчезновения (21) и находить величину его максимума

$$L = \sup L(\theta_1, \theta_2) \quad (27)$$



Решение в пользу одной из гипотез выносится в результате сравнения (18) величины (27) с порогом.

МП алгоритм обнаружения сигнала известной формы с неизвестными моментами появления и исчезновения исследован в [4]. В этой работе методом локально-марковской аппроксимации [8,9] найдены асимптотически точные (с ростом ОСШ) выражения для вероятности ложной тревоги  $\alpha$  и условной вероятности пропуска сигнала  $\beta(\theta_{01}, \theta_{02})$ . При необходимости, для расчёта характеристик МП алгоритма обнаружения сигнала с неизвестными моментами появления и исчезновения можно использовать точные формулы, найденные в [5].

На рис. 7 показана безусловная средняя вероятность ошибки МП алгоритма

$$P_e = p_0\alpha + p_1 \int_{\theta_{1 \min}}^{\theta_{1 \max}} \int_{\theta_{2 \min}}^{\theta_{2 \max}} \beta(\theta_1, \theta_2) W_{pr}(\theta_1, \theta_2) d\theta_1 d\theta_2$$

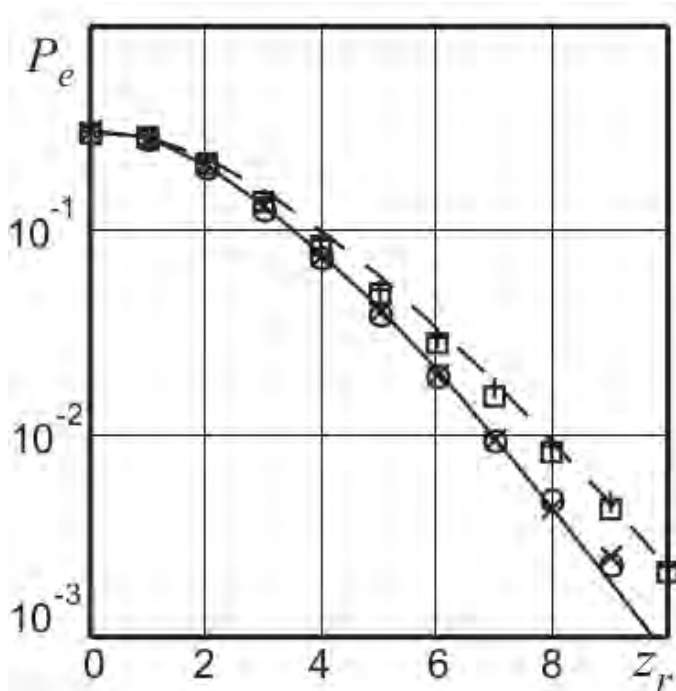


Рис. 7.

для  $\gamma_0 = 0,1$ ,  $\gamma_0 = 10$  (штриховая) и  $\gamma_0 = 1$  (сплошная кривые),  $p_0 = 0,7$  и  $c = \arg \inf P_e$ . Априорная плотность вероятности момента исчезновения считалась равномерной на интервале (21).

Рассмотрим возможность применения классического байесовского подхода [7], [8] к обнаружению сигнала (1), согласно которому приёмник должен формировать случайную величину

$$\Lambda = \int_{\theta_{1 \min}}^{\theta_{1 \max}} \int_{\theta_{2 \min}}^{\theta_{2 \max}} \exp [L(\theta_1, \theta_2)] \times W_{pr}(\theta_1, \theta_2) d\theta_1 d\theta_2. \quad (28)$$

Решение в пользу одной из гипотез выносится в результате сравнения

величины (28) с порогом (20). К сожалению, найти характеристики работы байесовского алгоритма обнаружения аналитически не удаётся. Исследование эффективности байесовского обнаружителя было выполнено методами статистического моделирования на ЭВМ в работе [4].

На рис. 7 показаны результаты статистического моделирования МП алгоритма (18), (27) приёма сигнала (1), (24) крестиками для  $\gamma_0 = 0,1$  и  $\gamma_0 = 10$ , плюсами для  $\gamma_0 = 1$ . Как видно, при  $z_r > 4$  асимптотические характеристики удовлетворительно описывают экспериментальные данные. На том же рисунке кружками и квадратами изображены результаты моделирования байесовского алгоритма обнаружения. Характеристики байесовского обнаружителя практически совпадают с характеристиками МП обнаружителя с оптимизированным порогом.

### СПИСОК ЛИТЕРАТУРЫ

1. Репин, В. Г. Обнаружение сигнала с неизвестными моментами появления и исчезновения // В. Г. Репин // Проблемы передачи информации. — 1991. — Т. 27, вып. 1. — С. 61–72.

2. Тартаковский, А. Г. Обнаружение сигналов со случайными моментами появления и исчезновения / А. Г. Тартаковский // Проблемы передачи информации. — 1988. — Т. 24, № 2. — С. 39–50.
3. Трифонов, А. П. Анализ скрытности передачи при использовании сигналов с неизвестными моментами появления и исчезновения / А. П. Трифонов, Ю. Э. Корчагин // Вестн. Воронеж. гос. ун-та. Сер. Физика, математика. — 2015. — № 1. — С. 35–43.
4. Трифонов, А. П. Оптимальный приём сигнала с неизвестными моментами появления и исчезновения / А. П. Трифонов, Ю. Э. Корчагин // Проблемы передачи информации. — 2001. — Т. 37, вып. 1. — С. 52–71.
5. Трифонов, А. П. Точные формулы для расчёта характеристик приёма сигнала с неизвестными моментами появления и исчезновения / А. П. Трифонов, Ю. Э. Корчагин // Проблемы передачи информации — 2009. — Т. 45, вып. 2. — С. 91–100.
6. Трифонов, А. П. Приём сигнала с неизвестной длительностью / А. П. Трифонов, Ю. Э. Корчагин // Известия ВУЗов. Радиофизика. — 2002. — Т. 45, № 7. — С. 625–637.
7. Трифонов, А. П. Обнаружение сигналов с неизвестными параметрами / А. П. Трифонов // Теория обнаружения сигналов. М.: Радио и связь. — 1984. — С. 12–89.
8. Трифонов, А. П. Совместное различение сигналов и оценка их параметров на фоне помех / А. П. Трифонов, Ю. С. Шинаков. — М.: Радио и связь, 1986. — 264 с.
9. Трифонов, А. П. Статистические свойства высоты и положения абсолютного максимума марковского случайного процесса типа Башелье / А. П. Трифонов, Ю. Э. Корчагин, М. Б. Беспалова // Вестн. Воронеж. гос. ун-та. Сер. Физика, математика. — 2014. — № 4. — С. 54–65.

## REFERENCES

1. Repin V. G. Detection of a signal with unknown appearance and disappearance. [Repin V. G. Obnaruzhenie signala s neizvestnymi momentami poyavleniya i ischeznoveniia]. *Problemy peredachi informacii — Problems of Information Transmission*, 1991, vol. 27, no. 1, pp. 61–72.
2. Tartakovskii A. G. Detection of Signals with Random Moments of Appearance and Disappearance. [Tartakovskii A. G. Obnaruzhenie signalov so sluchainymi momentami poyavleniya i ischeznoveniia]. *Problemy peredachi informacii — Problems of Information Transmission*, 1988, vol. 24, no. 2, pp. 39–50.
3. Trifonov A. P., Korchagin Yu. E. Analysis of transmission stealth of the use signals with unknown appearance and disappearance. [Trifonov A. P., Korchagin Yu. E'. Analiz skrytnosti peredachi pri ispol'zovanii signalov s neizvestnymi momentami poyavleniya i ischeznoveniia]. *Vestnik Voronezhskogo gosudarstvennogo universiteta. Seriya: Fizika. Matematika — Proceedings of Voronezh State University. Series: Physics. Mathematics*, 2015, no. 1, pp. 35–43.
4. Trifonov A. P. Korchagin Yu. E. Optimal reception of a signal with unknown appearance and disappearance. [Trifonov A. P. Korchagin Yu. E. Optimal'nyi priem signala s neizvestnymi momentami poyavleniya i ischeznoveniia]. *Problemy peredachi informacii — Problems of Information Transmission*, 2001, vol. 37, no. 1, pp. 52–71.
5. Trifonov A. P., Korchagin Yu. E. Exact formulas for calculation of the characteristics of signal reception with unknown appearance and disappearance. [Trifonov A. P., Korchagin Yu. E. Tochnye formuly dlia raschyota karakteristik priyoma signala s neizvestnymi momentami poiavleniia i ischeznoveniia]. *Problemy peredachi informacii — Problems of Information Transmission*, 2009, vol. 45, no. 2, pp. 91–100.
6. Trifonov A. P. Korchagin Yu. E. Receiving the signal of unknown duration. [Trifonov A. P. Korchagin Yu. E. Priem signala s neizvestnoi dritel'nost'yu]. *Izvestiya vysshix uchebnyx zavedenij. Radiofizika — Radiophysics and Quantum Electronics*, 2002, vol. 45, no. 5, pp. 625–637.
7. Trifonov A. P. Detection of signals with unknown parameters. [Trifonov A. P. Obnaruzhenie signalov s neizvestnymi parametrami]. *The theory of signal detection — Teoriya obnaruzheniya*

*signalov*, Moscow: Radio and communications, 1984, pp. 12–89.

8. Trifonov A. P., Shinakov Yu. S. The joint assessment of the distinction between signals and their parameters on the background noise. [Trifonov A. P., Shinakov Yu. S. *Sovmestnoe razlichenie signalov i ocenka ih parametrov na fone pomeh*]. Moscow: Radio and communications, 1986, 264 p.

9. Trifonov A. P., Korchagin Yu. E., Bepalova M. B. Statistical properties of height and provisions of absolute maximum markov processes Bachelier type. [Trifonov A. P., Korchagin Yu. E., Bepalova M. B. *Statisti-cheskie svoistva vysoty i polozeniya absolyutnogo maksimuma markovskogo sluchainogo processa tipa Bachel'e*]. *Vestnik Voronezhskogo gosudarstvennogo universiteta. Seriya: Fizika. Matematika — Proceedings of Voronezh State University. Series: Physics. Mathematics*, 2014, no. 4, pp. 54–65.

*Трифонов Андрей Павлович, доктор техни-  
ческих наук, профессор, Заслуженный дея-  
тель науки РФ, зав. каф. радиофизики ВГУ,  
г. Воронеж, Российская Федерация  
E-mail: trifonov@phys.vsu.ru  
Тел.: (473)–220–89–16*

*Trifonov Andrei Pavlovich, Doctor of technical  
sciences, Professor, Honored Scientist of the  
Russian Federation, Head of the Department  
of Radiophysics of Voronezh State University,  
Voronezh, Russian Federation  
E-mail: trifonov@phys.vsu.ru  
Tel.: (473)–220–89–16*

*Корчагин Юрий Эдуардович, доктор  
физико-математических наук, доцент, до-  
цент каф. радиофизики ВГУ, г. Воронеж,  
Российская Федерация  
E-mail: korchagin@phys.vsu.ru  
Тел.: (473) 220–89–16*

*Korchagin Yurii Eduardovich, Doctor of  
physicomathematical sciences, Associate  
Professor of the Department of radiophysic  
of Voronezh State University. Voronezh,  
Russian Federation  
E-mail: korchagin@phys.vsu.ru  
Tel.: (473) 220–89–16*